

(19)日本国特許庁(JP)

(12)特許公報(B2)

(11)特許番号
特許第7136139号
(P7136139)

(45)発行日 令和4年9月13日(2022.9.13)

(24)登録日 令和4年9月5日(2022.9.5)

(51)国際特許分類

H 02 M	7/48 (2007.01)	H 02 M	7/48	Z
H 01 L	25/07 (2006.01)	H 01 L	25/04	C
H 01 L	25/18 (2006.01)	H 01 L	23/46	Z
H 01 L	23/473 (2006.01)			

F I

請求項の数 8 (全13頁)

(21)出願番号	特願2020-15555(P2020-15555)
(22)出願日	令和2年1月31日(2020.1.31)
(65)公開番号	特開2021-125892(P2021-125892)
	A)
(43)公開日	令和3年8月30日(2021.8.30)
審査請求日	令和3年11月2日(2021.11.2)

(73)特許権者	000004260 株式会社デンソー 愛知県刈谷市昭和町1丁目1番地
(74)代理人	110000110弁理士法人 快友国際特許事務所
(72)発明者	出口 昌孝 愛知県豊田市トヨタ町1番地 トヨタ自動車株式会社内
	審査官 遠藤 尊志

最終頁に続く

(54)【発明の名称】 電力変換器

(57)【特許請求の範囲】

【請求項1】

電力変換用のスイッチング素子を収容しているパッケージと、前記パッケージの内部で前記スイッチング素子と接続されているとともに前記パッケージの外へと延びている第1端子と第2端子と第3端子を有しているパワーモジュールと、

前記パワーモジュールに接している第1冷却器と、

前記パワーモジュールと前記第1冷却器を収容しているケースと、

前記ケースに収容されている第2冷却器とコンデンサと、
を備えており、

前記パワーモジュールは前記第1冷却器と前記第2冷却器に挟まれてあり、

前記第1冷却器の第1面が前記パワーモジュールに接しており、前記第1冷却器の前記第1面とは異なる第2面が前記ケースに接しており、

前記第1端子または前記第1端子に接続されている第1バスバが前記ケースに接しており、

前記第2端子と接続されている第2バスバと、前記第3端子と接続されている第3バスバがそれぞれ前記コンデンサに接続されており、

前記第2冷却器の第1面が前記パワーモジュールに接しており、

前記第2端子または前記第2バスバが前記第2冷却器の前記第1面とは異なる第2面に接している、電力変換器。

【請求項2】

10

20

前記第2端子または前記第2バスバが前記ケースに接している、請求項1に記載の電力変換器。

【請求項3】

前記第2バスバが前記ケースと前記コンデンサに挟まれている、請求項2に記載の電力変換器。

【請求項4】

前記第1冷却器と前記第2冷却器が第1方向で複数の前記パワーモジュールを挟んでおり、

複数の前記パワーモジュールは前記第1方向と交差する第2方向で並んでおり、

それぞれの前記パワーモジュールの前記第1端子は、前記第1方向と前記第2方向の双方と交差する第3方向に沿って延びているとともに、前記第1方向を向く面が前記第2方向を向く面と前記第3方向を向く面よりも幅広の金属板である、請求項1から3のいずれか1項に記載の電力変換器。

10

【請求項5】

前記コンデンサは、前記第1端子が延びている方向に平行な方向で前記第1冷却器と並んでいる、請求項1から請求項4のいずれか1項に記載の電力変換器。

【請求項6】

前記第2冷却器の前記第1面と前記第2面が平行である、請求項1から請求項5のいずれか1項に記載の電力変換器。

20

【請求項7】

前記第1冷却器の前記第1面と前記第2面が平行である、請求項1から6のいずれか1項に記載の電力変換器。

【請求項8】

前記第1端子または前記第1バスバは、前記第1冷却器の隣で前記ケースに接している、請求項1から7のいずれか1項に記載の電力変換器。

【発明の詳細な説明】

【技術分野】

【0001】

本明細書が開示する技術は、電力変換用のスイッチング素子を収容するパワーモジュールとそのパワーモジュールを冷却する冷却器を備えている電力変換器に関する。

30

【背景技術】

【0002】

電力変換用のスイッチング素子を収容する複数のパワーモジュールと、それらのパワーモジュールを冷却する冷却器を備えた電力変換器が知られている（例えば特許文献1-3）。特許文献1の電力変換器では複数の冷却器と複数のパワーモジュールが1個ずつ交互に積層されている。特許文献2の電力変換器では、1個の直方体の冷却器の各面のそれぞれにパワーモジュールが接している。特許文献3の電力変換器では、一対の冷却器の間に複数のパワーモジュールが挟まれている。特許文献3の電力変換器では、一方の冷却器のパワーモジュールとは反対側の面に金属ケースが接しており、その金属ケースの中にリアクトルが収容されている。すなわち、冷却器はパワーモジュールとリアクトルを冷却する。

40

【先行技術文献】

【特許文献】

【0003】

【文献】特開2018-042424号公報

特開2009-100514号公報

特開2019-165170号公報

【発明の概要】

【発明が解決しようとする課題】

【0004】

特許文献1、2に開示された電力変換器では、冷却器の一の面で第1パワーモジュール

50

を冷却し、別の面で第2パワーモジュールを冷却する。特許文献3に開示された電力変換器では、冷却器の一方の面でパワーモジュールを冷却し、反対側の面でリアクトルを冷却する。すなわち、特許文献1、2の電力変換器はいずれも冷却器の一面と別の面でそれぞれ異なるパワーモジュール（すなわちスイッチング素子）を冷却する。

【0005】

パワーモジュールは発熱量が大きいので、1個の冷却器の複数の面を使って同一のパワーモジュールを冷却できることが望ましい。本明細書は、同一のパワーモジュールを冷却器の複数の面で効果的に冷却することのできる構造を提供する。

【課題を解決するための手段】

【0006】

パワーモジュールはそのパッケージの内部のスイッチング素子に接続されている端子がパッケージの外へと伸びている。端子は銅など熱伝導率の高い材料で作られており、スイッチング素子の熱は端子を伝ってパッケージの外へ出る。本明細書が開示する電力変換器では、1個の冷却器（第1冷却器）の一つの面（第1面）がパワーモジュールに接しているとともに、第1冷却器の別の面（第2面）がケースに接している。そして、パワーモジュールの第1端子（スイッチング素子に接続されている第1端子）、または第1端子に接続される第1バスバがケースに接している。

10

【0007】

本明細書が開示する電力変換器では、第1冷却器は第1面でパワーモジュールのパッケージを直接に冷却するとともに、第2面（第1面とは異なる面）がケースを介して第1端子または第1バスバを冷却する。パワーモジュールの熱の一部は第1面を通じて第1冷却器に吸収される。パワーモジュールの熱の別の一部は第1端子または第1バスバと第2面を通じて第1冷却器に吸収される。本明細書が開示する電力変換器は、同一のパワーモジュールを冷却器の複数の面で効果的に冷却することができる。

20

【0008】

なお、1個の冷却器（第1冷却器）に複数のパワーモジュールが接していてもよいし、一対の冷却器の間に1個乃至複数のパワーモジュールが挟まれていてもよい。本明細書が開示する電力変換器は、ケースに収容されている第2冷却器とコンデンサを備えており、パワーモジュールは第1冷却器と第2冷却器に挟まれている。パワーモジュールは第1端子とともに第2端子と第3端子を備えている。第2端子と接続されている第2バスバと、第3端子と接続されている第3バスバがそれぞれコンデンサに接続されている。第2冷却器の第1面がパワーモジュールに接しており、第2端子または第2バスバが第2冷却器の第1面とは異なる第2面に接している。

30

【0009】

また、本明細書では、パワーモジュールと冷却器が（あるいはバスバとケースが）熱伝導率の高い絶縁層を介して熱的に接する場合も単純に「接する」と表現する。パワーモジュールと冷却器が（あるいはバスバとケースが）の間に挟まれる絶縁層の熱伝導率は、ケースの熱伝導率も高いことが望ましい。本明細書が開示する技術の詳細とさらなる改良は以下の「発明を実施するための形態」にて説明する。

40

【図面の簡単な説明】

【0010】

【図1】（第1実施例）実施例の電力変換器の回路図である。

【図2】パワーモジュールの斜視図である。

【図3】図2のIII-III線に沿ったパワーモジュールの断面図である。

【図4】図2のIV-IV線に沿った断面図である。

【図5】パワーモジュールアセンブリの斜視図である。

【図6】パワーモジュールアセンブリの分解斜視図である。

【図7】第1実施例の電力変換器の平面図である。

【図8】図7のVIII-VIII線に沿ってカットした電力変換器の断面図である。

【図9】第2実施例の電力変換器の断面図である。

50

【発明を実施するための形態】

【0011】

(第1実施例) 図面を参照して第1実施例の電力変換器2を説明する。まず、電力変換器2の回路構成を説明する。図1に、電力変換器2の回路図を示す。電力変換器2は、電気自動車90に搭載されている。電力変換器2はインバータであり、バッテリ91の直流電力を走行用のモータ92を駆動するための交流電力に変換する。

【0012】

電力変換器2は、直流端9の正極9pと負極9nの間に接続されているコンデンサ3と、電力変換用の6個のスイッチング素子4(4a、4b)と、6個のダイオード5(5a、5b)で構成される。6個のスイッチング素子4は、2個ずつ直列に接続される。正極9pの側のスイッチング素子4をスイッチング素子4aと称し、負極9nの側のスイッチング素子4をスイッチング素子4bと称する場合がある。

10

【0013】

3セットの直列接続回路(2個のスイッチング素子4a、4bの直列接続回路)が直流端9の正極9pと負極9nの間に並列に接続される。それぞれのスイッチング素子4にダイオード5(5a、5b)が逆並列に接続される。スイッチング素子4aに並列に接続されるダイオード5をダイオード5aと称し、スイッチング素子4bに並列に接続されるダイオード5をダイオード5bと称する場合がある。2個のスイッチング素子4a、4bの直列接続回路の中点から交流が出力される。

20

【0014】

直流端9の正極9pと負極9nにはコンデンサ3が接続されている。コンデンサ3は、3セットの直列接続回路と並列に接続される。コンデンサ3は、3セットの直列接続回路に流れる電流の脈動を抑える。そのようなコンデンサ3は、平滑コンデンサと呼ばれることがある。

【0015】

6個のスイッチング素子4は、モータコントローラ6によって制御される。図1における矢印破線は信号線を示しており、モータコントローラ6からスイッチング素子4のゲートに信号線がつながっている。

【0016】

モータコントローラ6は、上位のコントローラ94からモータ92の目標出力を受信すると、目標出力が実現するように6個のスイッチング素子4を制御する。正極側のスイッチング素子4aと負極側のスイッチング素子4bを交互にオンオフすると、直列接続回路の中点から交流が出力される。

30

【0017】

直列に接続される2個のスイッチング素子4a、4bはパワーモジュール10に収容されている。符号10が示す破線矩形がパワーモジュールを示している。それぞれのスイッチング素子4a、4bに並列に接続されるダイオード5a、5bもパワーモジュール10に収容される。電力変換器2は、3個のパワーモジュール10を備えている。パワーモジュール10のハードウェアの構造は後で説明する。

【0018】

パワーモジュール10は3個のパワー端子(正極端子11、負極端子12、中点端子13)を備えている。正極端子11、負極端子12、中点端子13は、それぞれ、2個のスイッチング素子4a、4bの直列接続回路の高電位側、低電位側、中点と接続される。

40

【0019】

図2に、パワーモジュール10の斜視図を示す。図3に、図2のIII-III線に沿った断面を示し、図4に、図2のIV-IV線に沿った断面を示す。パワーモジュール10の本体は樹脂製のパッケージ20であり、パッケージ20に2個の半導体チップ21a、21bが埋設されている。なお、図4では、理解を助けるため、樹脂製のパッケージ20の断面を示すハッチングは省略した。

【0020】

50

半導体チップ 21 a には図 1 のスイッチング素子 4 a とダイオード 5 a の並列回路が実装されており、半導体チップ 21 b には図 1 のスイッチング素子 4 b とダイオード 5 b の並列回路が実装されている。

【 0 0 2 1 】

図 3、図 4 を参照してパッケージ 20 の内部の構造を説明する。半導体チップ 21 a、21 b は扁平な板であり、その幅広面の両面に電極が露出している。半導体チップ 21 a の正極 21 a p (スイッチング素子 4 a の正極) にはスペーサ 24 a が接合されており、スペーサ 24 a の反対側に金属板 23 a が接合されている。半導体チップ 21 a の負極 21 a n (スイッチング素子 4 a の負極) は金属板 22 に接合されており、その金属板 22 には半導体チップ 21 b の正極 21 b p (スイッチング素子 4 b の正極) が接合されている。すなわち、金属板 22 が 2 個のスイッチング素子 4 a、4 b を直列に接続する。

10

【 0 0 2 2 】

半導体チップ 21 b の負極 21 b n (スイッチング素子 4 b の負極) はスペーサ 24 b に接合されており、スペーサ 24 b の反対側に金属板 23 b が接合されている。金属板 22、23 a、23 b の一方の面はパッケージ 20 から露出しており、半導体チップ 21 a、21 b の熱を放出する。

【 0 0 2 3 】

また、金属板 23 a が 2 個のスイッチング素子 4 a、4 b の直列接続回路の高電位側に対応し、金属板 23 b が直列接続回路の低電位側に対応する。金属板 22 は直列接続回路の中点に対応する。図 4 に示されているように、金属板 23 a の縁に正極端子 11 が接続されている。2 個のスイッチング素子 4 a、4 b の直列接続の高電位側は、スペーサ 24 a と金属板 23 a を介して正極端子 11 と電気的に接続される。また、図示は省略するが、直列接続回路の低電位側に対応する金属板 23 b には負極端子 12 が接続されており、直列接続回路の中点に対応する金属板 22 には中点端子 13 が接続されている。パッケージ 20 の内部のスイッチング素子 4 a、4 b の直列接続回路は、金属板 23 a、23 b、22 を介して正極端子 11、負極端子 12、中点端子 13 と接続されており、それらの端子はパッケージ 20 の内部から外部へと延びている。

20

【 0 0 2 4 】

半導体チップ 21 a の一方の面には制御電極 21 a c も露出している。制御電極 21 a c は、複数個が存在し、それらの電極はスイッチング素子 4 a のゲート電極やセンスエミッタなどに接続されている。パッケージ 20 から複数の制御端子 14 が延びている。複数の制御端子 14 のそれぞれは、パッケージ 20 の内部で、ボンディングワイヤ 15 により複数の制御電極 21 a c のそれぞれに接続される。半導体チップ 21 b も同様であり、その制御電極には制御端子 14 が接続されている。

30

【 0 0 2 5 】

図 2 に戻り、パワーモジュール 10 の構造を説明する。パッケージ 20 は、扁平であり、図中の座標系の + X 方向を向く幅広面に金属板 23 a、23 b が露出している。反対が枠の幅広面には金属板 22 が露出している。また、図中の座標系の + Z 方向を向く幅狭の面 20 a に 3 個のパワー端子 (正極端子 11 と負極端子 12 と中点端子 13) が設けられている。反対側の - Z 方向を向く幅狭の面 20 b に制御端子 14 が設けられている。後述するが、制御端子 14 はモータコントローラ 6 に接続される。制御端子 14 を介してモータコントローラ 6 からスイッチング素子 4 a、4 b へ駆動信号が送られる。

40

【 0 0 2 6 】

図 1 に示されているように、3 個のパワーモジュール 10 と並列にコンデンサ 3 が接続されている。3 個のパワーモジュール 10 の正極端子 11 がコンデンサ 3 の一方の電極に接続され、負極端子 12 がコンデンサ 3 の他方の電極に接続される。3 個のパワーモジュール 10 とコンデンサ 3 は、後述する正極バスバ 4 1 と負極バスバ 4 3 で接続される。

【 0 0 2 7 】

一方、パワーモジュール 10 (スイッチング素子 4 a、4 b) は発熱量が大きく、それゆえ、電力変換器 2 はパワーモジュール 10 を冷却する一対の冷却器 31、32 を備える

50

。図5に、パワーモジュール10と冷却器31、32とコンデンサ3のアセンブリ30の斜視図を示す。図6に、アセンブリ30の分解図を示す。なお、以下では冷却器31を第1冷却器31と称し、冷却器32を第2冷却器32と称する場合がある。図5と図6では、手前のパワーモジュール10にのみ、パワー端子に符号11、12、13を付し、残りのパワーモジュール10には端子の符号を省略した。

【0028】

3個のパワーモジュール10は、一対の冷却器31、32に挟まれる。3個のパワーモジュール10は、一列に並んでおり、それぞれが第1冷却器31と第2冷却器32に触れるように、一対の冷却器31、32に挟まれる。パワーモジュール10の両方の幅広面には金属板22、23a、23bが露出しており、金属板22、23a、23bがそれぞれ冷却器に触れる。3個のパワーモジュール10のそれぞれは、両方の幅広面を通じて冷却器31、32に冷却される。

10

【0029】

一対の冷却器31、32は、連結管33a、33bで連結される。連結管33a、33bは、パワーモジュール10の並び方向(図中の座標系のY方向)の両端のそれぞれで冷却器31、32を連結する。冷却器31、32の内部は空洞であり連結管33a、33bは、冷却器31、32の空洞を連通する。また、第2冷却器32の両端には冷媒給排管34a、34bが設けられている。冷媒給排管34a、34bは、不図示の冷媒循環装置に接続される。冷媒循環装置から供給される液体の冷媒は、冷媒給排管34aと連結管33aを通じて冷却器31、32に分配される。冷媒は冷却器31、32の内部を通過する間にパワーモジュール10の熱を吸収する。熱を吸収して温度が上昇した冷媒は連結管33b、冷媒給排管34bを通じて冷媒循環装置に戻る。

20

【0030】

コンデンサ3は、冷却器31、32とパワーモジュール10の積層体の隣に配置される。3個のパワーモジュール10の正極端子11(負極端子12)が正極バスバ41(負極バスバ43)でコンデンサ3の正極3a(負極3b)に接続される。正極バスバ41の縁には3個のタブ42が設けられており、3個のタブ42のそれぞれが3個のパワーモジュール10のそれぞれの正極端子11に接合される。負極バスバ43にも3個のタブ44が設けられており、それぞれのタブ44がそれぞれの負極端子12に接合される。

30

【0031】

3個のパワーモジュール10のそれぞれの中点端子13には3個の出力バスバ46のそれぞれが接合される。先に述べたように、3個のパワーモジュール10はインバータを構成する。3個のパワーモジュール10のそれぞれの中点端子13から交流が出力される。出力バスバ46は、電力変換器2の交流出力端に相当する。

【0032】

図7に、電力変換器2の平面図を示す。図7では、コンデンサ3やアセンブリ30の部品のうち、正極バスバ41と負極バスバ43で隠れて見えない部品は破線で示した。先に述べたアセンブリ30は、ケース50に収容される。アセンブリ30は、ケース50の底板51に固定される。詳しくは後述するが、底板51には突起52が設けられており、3個の出力バスバ46は突起52に熱的に接している。

40

【0033】

図8に、図7のVIII-VIII線に沿った断面を示す。図8は、パワーモジュール10を横断する断面を示しているが、パワーモジュール10の内部の構造の図示は省略した。パワーモジュール10の内部構造については、図3、図4で説明した通りである。

【0034】

説明の都合上、図中の座標系の+X方向を「上」と定義する。すなわち、第1冷却器31の上面と、第2冷却器32の下面がパワーモジュール10に接している。なお、冷却器31、32とパワーモジュール10の間には熱伝導率の高い絶縁シートが挟まれているが、その絶縁シートの図示は省略した。

【0035】

50

冷却器 3 1、3 2 とパワーモジュール 1 0 は、図中の座標系の X 方向で積層されている。第 1 冷却器 3 1 の上面がパワーモジュール 1 0 に接しており、下面が絶縁シート 5 8 を挟んでケース 5 0 の底板 5 1 に接している。なお、本明細書では、熱伝導率の高い絶縁シート 5 8 を挟んで 2 個の部品が熱的に接することを単純に「接する」と表記する。絶縁シート 5 8 の熱伝導率は、ケース 5 0 の熱伝導率よりも高い。

【0 0 3 6】

底板 5 1 には突起 5 2 が設けられており、突起 5 2 の頭頂面が絶縁シート 5 8 を挟んで出力バスバ 4 6 と（熱的に）接している。突起 5 2 は、第 1 冷却器 3 1 の隣に位置している。出力バスバ 4 6 は下方へ直角に折れ曲がっており、先端は、底板 5 1 の貫通孔 5 1 b を通り、さらに、電流センサ 5 9 を通過する。

10

【0 0 3 7】

パワーモジュール 1 0 の制御端子 1 4 は、底板 5 1 の貫通孔 5 1 a を通過し、底板 5 1 の下側に取り付けられているモータコントローラ 6 に接続される。モータコントローラ 6 は、基板に実装された論理回路で実現される。

【0 0 3 8】

パワーモジュール 1 0 の負極端子 1 2 に接続される負極バスバ 4 3 は、絶縁シート 5 8 を挟んで第 2 冷却器 3 2 の上面に接しており、負極バスバ 4 3 は、さらに、絶縁シート 5 8 を挟んでケース 5 0 の底板 5 1 にも接する。負極バスバ 4 3 は、コンデンサ 3 と底板 5 1 に挟まれる。

【0 0 3 9】

パワーモジュール 1 0 の正極端子 1 1 に接続される正極バスバ 4 1 は、第 2 冷却器 3 2 に対向する位置にて絶縁シート 5 8 を挟んで負極バスバ 4 3 と対向する。

20

【0 0 4 0】

ケース 5 0 は熱伝導率の高い金属で作られている。ケース 5 0 は、典型的にはアルミニウムで作られている。

【0 0 4 1】

パワーモジュール 1 0 (スイッチング素子 4 a、4 b) は発熱量が大きい。図 8 の構造は、スイッチング素子 4 a、4 b を効果的に冷却する。その特徴を以下に列挙する。

【0 0 4 2】

図 8 の太矢印線が熱の流れを模式的に表している。パワーモジュール 1 0 の熱の一部はその両側の冷却器 3 1、3 2 に吸収される。熱の一部は第 1 冷却器 3 1 の上面を通じて吸収される。熱の別の一部は中点端子 1 3 と出力バスバ 4 6 へと流れる。出力バスバ 4 6 は、第 1 冷却器 3 1 の隣で底板 5 1 の突起 5 2 に接している。第 1 冷却器 3 1 の下面は絶縁シート 5 8 を挟んで底板 5 1 に接している。出力バスバ 4 6 へと流れたパワーモジュール 1 0 の熱は、突起 5 2 を含む底板 5 1 を通じて第 1 冷却器 3 1 の下面に吸収される。すなわち、第 1 冷却器 3 1 は、その両面でパワーモジュール 1 0 を冷却する。

30

【0 0 4 3】

パワーモジュール 1 0 の熱は第 2 冷却器 3 2 の下面を通じても吸収される。パワーモジュール 1 0 の熱の別の一部は、負極端子 1 2 と負極バスバ 4 3 へと流れる。負極バスバ 4 3 は絶縁シート 5 8 を挟んで第 2 冷却器 3 2 の上面に接している。パワーモジュール 1 0 の熱の一部は負極端子 1 2 と負極バスバ 4 3 を通じて第 2 冷却器 3 2 の上面に吸収される。すなわち、第 2 冷却器 3 2 もその両面でパワーモジュール 1 0 を冷却する。

40

【0 0 4 4】

負極バスバ 4 3 は、第 2 冷却器 3 2 の上面に接しているとともに絶縁シート 5 8 を挟んでケース 5 0 の底板 5 1 にも接している。さらに、負極バスバ 4 3 はコンデンサ 3 と底板 5 1 に挟まれている。負極バスバ 4 3 の熱は、底板 5 1 を通じて第 1 冷却器 3 1 の下面に吸収される。負極バスバ 4 3 にはコンデンサ 3 の熱も伝わるため、コンデンサ 3 の熱の一部は、負極バスバ 4 3 と底板 5 1 を介して第 1 冷却器 3 1 の下面に吸収される。

【0 0 4 5】

上記したように、電力変換器 2 は、一対の冷却器 3 1、3 2 が複数のパワーモジュール

50

10を挟んでおり、冷却器31、32のそれぞれが、その両面を有効に使ってパワーモジュール10（スイッチング素子4a、4b）を冷却することができる。

【0046】

電力変換器2の特徴を別言すると次の通りである、電力変換器2は、パワーモジュール10を挟む一対の冷却器31、32を備える。パワーモジュール10と冷却器31、32の積層体はケース50に収容される。第1冷却器31のパワーモジュール10とは反対側の面（下面）がケース50に接しているとともに、中点端子13に接続されている出力バスバ46が第1冷却器31の隣でケース50に接している。出力バスバ46が第1冷却器31の隣でケース50に接していることで、出力バスバ46を通じてケース50に伝わったパワーモジュール10の熱は第1冷却器31によく吸収される。第1冷却器31は、一方の面（上面）でパワーモジュール10を直接に冷却し、他方の面（下面）では中点端子13と出力バスバ46を介して伝わってくるパワーモジュール10の熱を吸収する。

【0047】

図7、図8で示した電力変換器2の構造のその他の特徴を以下に述べる。冷却器31、32は図中の座標系のX方向で複数のパワーモジュール10を挟んでいる。複数のパワーモジュール10は、それぞれが冷却器31、32に触れるように、Y方向に並べられている。パワーモジュール10は、扁平であり、幅広面が冷却器31、32に接する。冷却器31、32も扁平であり、その幅広面がパワーモジュールに接する。

【0048】

それぞれのパワーモジュール10のパワー端子（正極端子11、負極端子12、中点端子13）は、パワーモジュール10のZ方向を向く幅狭面からZ方向に延びている。コンデンサ3は、Z方向で冷却器31、32、パワーモジュール10と並んでいる。コンデンサ3は、パワー端子が設けられている側とは反対側でパワーモジュール10と並んでいる。

【0049】

パワー端子（正極端子11、負極端子12、中点端子13）は、それぞれ、X方向を向く面がY方向を向く面とZ方向を向く面よりも広い金属板である。すなわち、電力変換器2では、冷却器31、32、パワーモジュール10、パワー端子が全て扁平であり、いずれも幅広面が同一方向（X方向）を向くように配置されている。また、電力変換器2は、一対の冷却器31、32にはさまれた3個のパワーモジュール10のみでインバータを構成する。また、体格の大きいコンデンサ3は、Z方向で一対の冷却器31、32とパワーモジュール10の積層体の隣に配置される。上記の配置により、電力変換器2のX方向の長さを短くすることができる。

【0050】

第1実施例の電力変換器2は、扁平な一対の冷却器31、32で挟まれた扁平な3個のパワーモジュール10でインバータを構成する。図7、図8によく表れているように、実施例の電力変換器2は、全体が扁平でシンプルな構造である。

【0051】

（第2実施例）図9に第2実施例の電力変換器102の断面図を示す。図9でも、説明の便宜上、+X方向を「上」と定義し、-X方向を「下」と定義する。電力変換器102は、パワーモジュール110と冷却器131を備えており、それらはケース150に収容されている。パワーモジュール110は、樹脂製のパッケージ120に半導体チップ121を埋設したデバイスである。半導体チップ121には、電力変換用のスイッチング素子が実装されている。

【0052】

半導体チップ121の上面と下面のそれぞれに電極が露出している。半導体チップ121の下面に正極が露出しており、その正極は金属板122に接合されている。半導体チップ121の上面に負極が露出しており、その負極は銅ブロック124に接合されている。銅ブロック124の半導体チップ121とは反対側に金属板123が接合されている。金属板122、123の一方の面はパッケージ120から露出しており、半導体チップ121（スイッチング素子）の放熱に寄与する。

10

20

30

40

50

【0053】

金属板122の縁に正極端子111が連結されている。正極端子111は、パッケージ120の外へと延びている。正極端子111は、ケース150に設けられた貫通孔151を通じてケース150の外へ延びている。正極端子111とケース150は、伝熱性の高い絶縁シート158を挟んで対向している。絶縁シート158の熱伝導率は、ケース150の熱伝導率よりも高い。正極端子111とケース150は、絶縁シート158を介して熱的に接続している。

【0054】

パワーモジュール110のパッケージ120の下面が絶縁シート58を挟んで冷却器131の上面に対向している。パッケージ120は熱伝導性の高い絶縁シート58を介して冷却器131に熱的に接続している。絶縁シート58の熱伝導率はケース150の熱伝導率よりも高い。冷却器131の下面是ケース150に接している。冷却器131の中には液体冷媒が通る流路FPが形成されている。

10

【0055】

半導体チップ121(スイッチング素子)の熱の一部は絶縁シート58を介して冷却器131の上面に吸収される。半導体チップ121(スイッチング素子)の熱の別の一部は、正極端子111と絶縁シート158とケース150を介して冷却器131の下面に吸収される。このように、冷却器131は、その両面を通じて半導体チップ121(スイッチング素子)の熱を吸収する。

【0056】

実施例の中点端子13、正極端子111が第1端子の一例に相当する。出力バスバ46が第1バスバの一例に相当する。負極端子12と負極バスバ43がそれぞれ第2端子と第2バスバの一例に相当し、正極端子11と正極バスバ41がそれぞれ第3端子と第3バスバの一例に相当する。第1冷却器31の上面が第1面に相当し、下面が第2面に相当する。第2冷却器32の下面が第1面に相当し、上面が第2面に相当する。冷却器131の上面が第1面に相当し下面が第2面に相当する。

20

【0057】

先に述べたように、本明細書においては、「パワーモジュールと冷却器が接している」という表現には、パワーモジュールと冷却器が伝熱性の高い絶縁シートを挟んでおり、両者が熱的に接続していることを含む。

30

【0058】

実施例の電力変換器では、冷却器の第1面にパワーモジュールが接しており、冷却器の第1面とは反対側の別の面にケースが接している。ケースは、冷却器の第1面とは異なる面に接していればよい。例えば、パワーモジュールが冷却器の上面に接しており、ケースは冷却器の側面に接していてもよい。冷却器の第1面にパワーモジュールが接しており、冷却器の第1面とは反対側の面に別のパワーモジュールが接していてもよい。

【0059】

以上、本発明の具体例を詳細に説明したが、これらは例示に過ぎず、特許請求の範囲を限定するものではない。特許請求の範囲に記載の技術には、以上に例示した具体例を様々に変形、変更したものが含まれる。本明細書または図面に説明した技術要素は、単独であるいは各種の組合せによって技術的有用性を発揮するものであり、出願時請求項記載の組合せに限定されるものではない。また、本明細書または図面に例示した技術は複数目的を同時に達成し得るものであり、そのうちの一つの目的を達成すること自体で技術的有用性を持つものである。

40

【符号の説明】

【0060】

2、102：電力変換器

3：コンデンサ

4、4a、4b：スイッチング素子

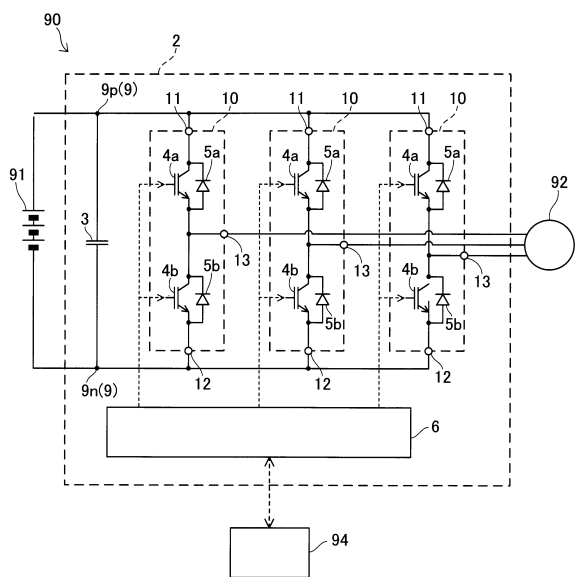
5、5a、5b：ダイオード

50

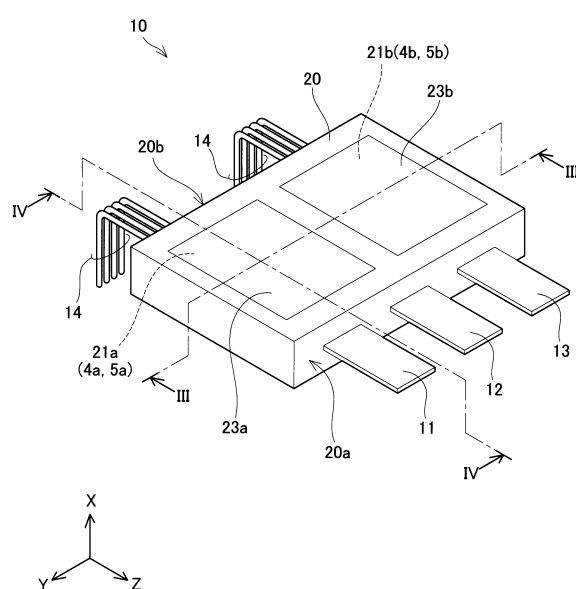
- 6 : モータコントローラ
 10 : パワーモジュール
 11 : 正極端子
 12 : 負極端子
 13、113 : 中点端子
 14 : 制御端子
 20、120 : パッケージ
 21a、21b、121 : 半導体チップ
 22、23a、23b、121、122 : 金属板
 30 : アセンブリ
 31、32、131 : 冷却器
 41 : 正極バスバー
 42、44 : タブ
 43 : 負極バスバー
 46 : 出力バスバー
 50 : ケース
 51 : 底板
 52 : 突起
 58、158 : 絶縁シート
 90 : 電気自動車
 91 : バッテリ
 92 : モータ
 93 : コントローラ
 124 : 銅ブロック

【図面】

【図1】



【図2】



10

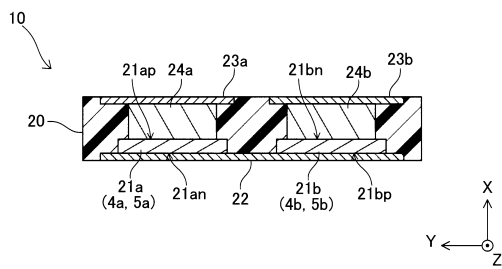
20

30

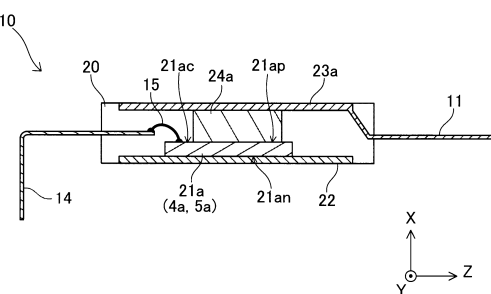
40

50

【図3】

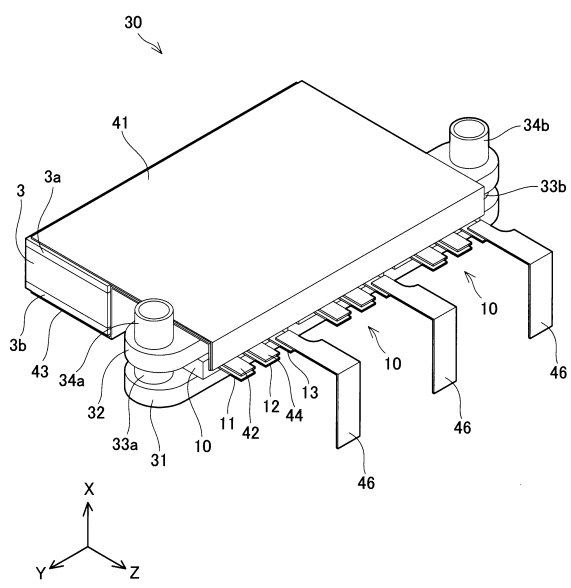


【図4】

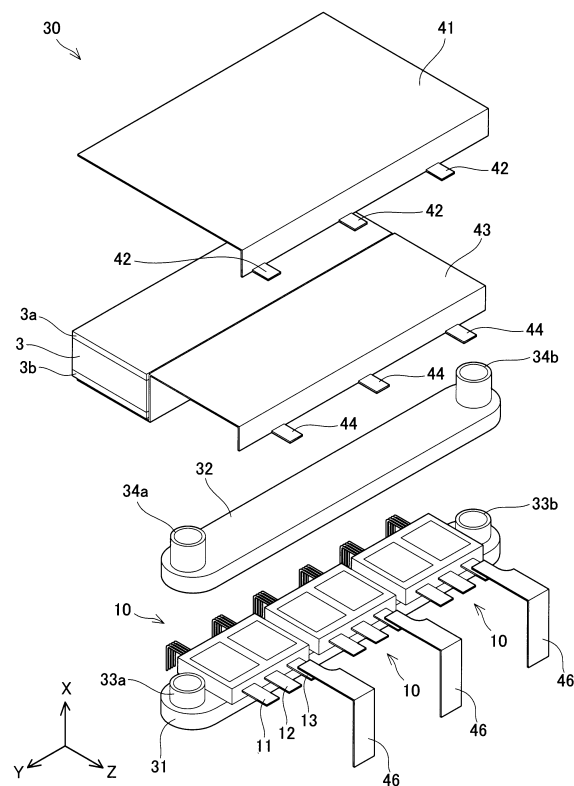


10

【図5】



【図6】



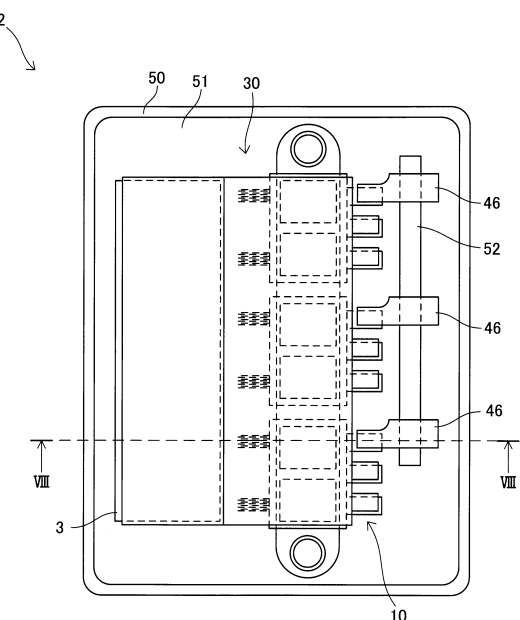
20

30

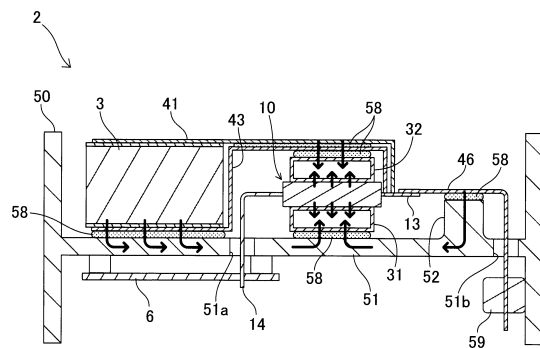
40

50

【図 7】



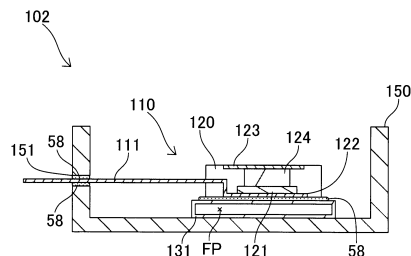
【図 8】



10

20

【図 9】



30

40

50

フロントページの続き

- (56)参考文献 特開2018-110469 (JP, A)
 特開2019-033587 (JP, A)
 國際公開第2018/198522 (WO, A1)
- (58)調査した分野 (Int.Cl., DB名)
 H02M 7/42 - 7/98
 H01L 25/07
 H01L 23/473